

## الفصل الخامس

### النتائج و مناقشتها

#### Results and discussion

في هذه الدراسة تم أولاً اختبار صلاحية النموذج العددي الذي وضع بواسطة محمود و جمال (Mahmoud and Gamal,1995) لتفسير ظاهرة تأين أبخرة القلوبيات المشععة بواسطة أشعة ليزر منغمة للانتقال الأول في ذرات الروبيديوم . ثانياً تطوير النموذج العددي بأخذ في الاعتبار عمليات فيزيائية تعمل على زيادة كل من كثافة الالكترونات والأيونات . وطبق النموذج على الظروف المعملية التي أجريت بواسطة باربير وشيري (Barbier and Che'ret,1987) وفيها تم تشيع بخار الروبيديوم بكثافة ابتدائية تساوي  $10^{13} \text{ cm}^{-3}$  و درجة حرارة للبخار تساوي K 450 بواسطة أشعة ليزر ذات قدرة P تتراوح ما بين W 50-500 ، والتي تعطي شدة استضاءة من العلاقة  $I = P / \pi r^2$  حيث r هي نصف قطر الحزمة المجمعة (  $r = 0.11 \text{ cm}$  ) واستخدم طولين لأنشعة الليزر هما 795 nm و 780 nm ليتوافقا مع الانتقال  $5p_{1/2}, 5p_{3/2} \rightarrow 5s$  على الترتيب .

فيما يلي يتم عرض و مناقشة نتائج الحسابات التي تم الحصول عليها تحت هذه الظروف المعملية و مقارنتها بالقيم المقاسة عملياً .

#### 5- أ النموذج العددي : نتائج الحسابات .

##### 5 – A Numerical model : Results of computation .

أجريت الحسابات بحل معادلات المعدل بفرض وجود كثافة ضئيلة جدًا من الالكترونات في حجم التفاعل قبل إشعال مصدر الليزر . وقد أخذت هذه الكثافة متساوية  $3.0 \times 10^{-2} \text{ e/cm}^3$  . كما أن القيم الابتدائية لكتافة المستويات المثارة تم حسابها كما يوضح

جدول (5-1) . وقد أعطى خارج البرنامج الحسابي عدد كبير من المعاملات والتي سوف نعرضها فيما يلي .

### 5 - أ - 1 دالة توزيع طاقة الالكترون .

#### 5 - A - 1 Electron energy distribution function .

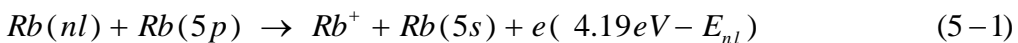
استخدمت هذه الحسابات لدراسة تأثير زمن التشيع على دالة توزيع طاقة الالكترونات عند قيم مختلفة لقدرة الليزر ، كما سنوضح فيما يلي :

### 5 - أ - 1 - 1 التكوين الزمني لدالة توزيع طاقة الالكترونات .

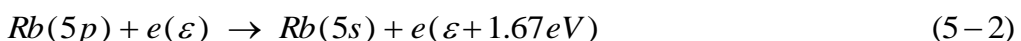
#### 5 - A - 1 - 1 Time evolution of the electron energy distribution function .

في شكل (5-1) تم تمثيل التكوين الزمني لدالة توزيع طاقة الالكترونات عند قيمة قدرة ليزر 50 mW (i) خلال فترة تشيع تغطي مدى من 1 إلى ns 200 . وتهدف هذه العلاقة لدراسة التكوين الزمني خلال فترة التشيع للعمليات المسؤولة عن نمو وتسخين الالكترونات الابتدائية . يتضح من هذا الشكل أن دالة توزيع طاقة الالكترونات لها تركيب طيفي يتكون من عدد من القمم العظمى (a , b , b` , c , c` , d , e) والتي لا يتغير موقعها بزيادة زمن التشيع ، وإنما يتغير فقط ارتفاعها بزيادة الزمن . وقد أعزيت القمة الأولى a والتي تقع عند قيم منخفضة من الطاقة (تقرب من الصفر) إلى عملية التأين المشارك . أما القمم b , b` فأرجعت إلى الالكترونات التي نتجت عن تأين بنج خلال تصدامات ذرات الروبيديوم المثارة لأي مستوى nl مع ذرات الروبيديوم المثارة للمستوى 5p . وقد وجد عملياً أن الذرات المثارة في المستوى nl تناظر المستويات 6d , 5d والتي تملأ خلال عملية مشاركة الطاقة والاضمحلال الإشعاعي من المستوى العلوي 8s (Barbier and Che'ret,1983) . وبشكل عام فإن التركيب الطيفي لدالة توزيع طاقة الالكترونات يوضح سيادة عملية تأين بنج على التأين المشارك ، والذي يمكن أن يحدث أيضاً خلال التصادم بين ذرات الروبيديوم المثارة للمستويات العليا nl ومستوى الرنين 5p عند مسافات بينية صغيرة لأنوية الذرات المتصادمة ( $5A^{\circ} \leq R$ ) وتنتج هذه الذرات المثارة في المستوى nl خلال تصدامات مشاركة الطاقة (Energy pooling collisions) (Barbier and Che'ret,1983) . وتأكد ذلك من القيم المرتفعة لمساحات مقطع عملية تأين بنج والتي تتراوح ما بين  $10^{-12} \text{ cm}^2 \rightarrow 10^{-13}$  . وقد تم توضيح ذلك لأول مرة من خلال القياسات الممتددة التي أجريت بواسطة شيري و

مجموعته (Che'ret et. al., 1982) لتعيين مساحات تأين بنج والتأين المشارك لأنظمة تحتوي ذرات روبيديوم مثاره لمستويات عليا  $n_l$  وذرات الروبيديوم المثارة لمستوى رئيسي  $5p$  ، وأوضحت هذه القياسات أن التفاعل طويل المدى بين ثنائي القطب وثنائي القطب يحدث على الترابط الرئيسي مع منطقة الاستمرار في عملية تأين بنج ، كما توضح المعادلة التالية .



أما القسم  $c$  ، فقد أعزى تكونها إلى تصادمات فائقة المرونة من الدرجة الأولى بين الألكترونات الحرة الناتجة عن عملية التأين المشارك بطاقة منخفضة (تقرب من الصفر) مع ذرات الروبيديوم المثارة لمستوى  $5p$  والتي تعطي كل منها مقدار من الطاقة يساوي  $1.67\text{eV}$  وفقاً للمعادلة



ويتحدد الزمن اللازم للتصادمات فائقة المرونة للألكترونات ذات الطاقة  $0.25\text{eV}$  بمدى يتغير ما بين  $s^{-6} \rightarrow 4 \times 10^{-7}\text{s}$  لكثافة المستوى المثار  $5p$  التي تتغير ما بين  $10^{12} \rightarrow 10^{13}\text{cm}^{-3}$  . وهكذا نجد أن هذا الزمن أطول كثيراً من الزمن اللازم لانسياط الألكترونات  $s^{-8}$  .

أما القسم  $d$  عند طاقة  $3\text{eV}$  يمكن أن ترجع إلى عمليات تصادم فائق المرونة من الدرجة الثانية للألكترونات ناتجة عن عملية التأين المشارك . والتي فيها تنتقل طاقة ذرة مثارة في المستوى  $5p$  إلى الكترون له طاقة تساوي أو تزيد عن طاقة المستوى  $5p$  .

أما القسم  $e$  ربما ترجع إلى تصادم فائق المرونة من الدرجة الثالثة بين الكترونات نتجت عن تأين مشارك أو تأين بنج ليكتسب طاقة تصل إلى ما يزيد عن طاقة التأين  $(> 4.19\text{eV})$  .

ولدراسة تأثير قدرة الليزر على التركيب الطيفي لدالة توزيع طاقة الألكترونات شكل (5-1) يمثل التكوين الزمني لدالة توزيع طاقة الألكترونات عند قيم قدرة



الليزر 500 mW – (iii) 300 mW – (ii) لنفس الفترة الزمنية من 1 إلى 200 ns . يتضح من هذا الشكل أن زيادة قدرة الليزر تؤدي فقط إلى زيادة قيم دالة التوزيع مما يدل على زيادة معدل العمليات الفيزيائية ، ويوضح ذلك عدم تغير مواضع القمم ، أي تطابق مواضع القمم مع اختلاف كل من قدرة الليزر على مدى فترة التشعيـع . مع ملاحظة اختلافات طفيفة في ارتفاع القمم بزيادة قدرة الليزر . تؤكد هذه النتيجة تحليل العمليات الفيزيائية الذي أعطى لشكل (5-1) حيث تعبـر القمة a عن تأين مشارك ، بينما القمم b, c تعبـر عن تأين بننج ، أما c, c فـهي تعبـر عن التصادم فائق المرونة الأول .

### 5 - أ - 1 - 2 مقارنة دالة توزيع طاقة الالكترونات .

#### 5 - A - 1 - 2 Comparison of the electron energy distribution function .

شكل (5-2) يوضح مقارنة بين القيم المحسوبة لدالة توزيع طاقة الالكترونات لقيم مختلفة لقدرة الليزر عند فترة تشعيـع ns 200 . يؤكـد هذا الشكل التركيب الطيفي لدالة توزيع طاقة الالكترونات مع تغير قدرة الليزر ، وهذا بالتالي يدل على أن زيادة قدرة أشعة الليزر لا تغير من العمليات الفيزيائية التي تؤدي إلى نمو وتسخين كثافة الالكترونات . والنقطة الهمـة التي يمكن استنباطها من هذه الدراسة هي أنه يمكن أن تتكون بلازما في بخار الروبيديوم بكثافة تصل إلى  $10^{13} \text{ cm}^{-3}$  ، حتى عند القيم المنخفضة لكل من قدرة الليزر وكثافة الذرات وذلك من خلال عمليات تأين تصادمي .

### 5 - أ - 2 دراسة التأثير المفرد للعمليات الفيزيائية .

#### 5 - A - 2 Study of the individual effect of the physical processes .

للتأكد من منـشـا الـالـكتـرونـات الـابـتدـائـية المسـؤـولـة عن تكونـ البـلاـزـما أـجـريـتـ الحـسـابـاتـ لـدـرـاسـةـ التـأـيـرـ المـفـردـ لـكـلـ عـمـلـيـةـ فـيـزـيـائـيةـ عـلـىـ دـالـةـ تـوزـيعـ طـاقـةـ الـالـكتـرونـاتـ عـنـ قـدـرـةـ لـأـشـعـةـ الليـزـرـ 50 mWـ (ـشـكـلـ 5-3ـ)ـ وـقـدـرـةـ 500 mWـ (ـشـكـلـ 5-4ـ)ـ .ـ يـعـطـيـ كـلـ مـقـارـنـةـ بـيـنـ دـالـةـ التـوزـيعـ مـحـسـوبـةـ عـنـ نـهـاـيـةـ زـمـنـ التـشـعـيـعـ فـيـ وـجـودـ وـعـنـ إـهـمـالـ كـلـ مـنـ الـعـمـلـيـاتـ الـآـتـيـةـ (ـiـ)ـ تـأـيـنـ المـشـارـكـ ،ـ (ـiiـ)ـ تـأـيـنـ بـنـنجـ ،ـ (ـiiiـ)ـ مـشـارـكـةـ الطـاقـةـ ،ـ (ـivـ)ـ التـصـادـمـ فـائـقـ المـرـونـةـ .ـ يـتـضـحـ مـنـ الشـكـلـ (ـ5-3ـ)ـ أـنـ عـنـ إـهـمـالـ عـمـلـيـةـ التـأـيـنـ المـشـارـكـ شـكـلـ (ـiـ)ـ تـخـفـيـ قـيـمةـ دـالـةـ التـوزـيعـ المـمـثـلـةـ بـالـقـمـةـ aـ ،ـ مـاـ يـدـلـ عـلـىـ أـنـ هـذـهـ قـمـةـ تـنـتـجـ أـسـاسـاـ عـنـ الـكـتـرـوـنـاتـ نـتـجـتـ خـلـالـ عـمـلـيـةـ التـأـيـنـ المـشـارـكـ ،ـ بـإـضـافـةـ إـلـىـ ذـلـكـ فـإـنـ دـالـةـ التـوزـيعـ المـحـسـوبـةـ عـنـ إـهـمـالـ هـذـهـ



العملية (منحنى 2) تقع أدنى تلك المحسوبة في وجودها (منحنى 1) على المدى  $4.25 \text{ eV} \rightarrow 0.75$  . ومع زيادة قدرة الليزر (شكل 5-4) تختفي القيمة  $a$  إلى قيمة تعادل تقريباً  $10^3$  مما يدل على أن هناك عملية أخرى تساهم في الحصول على الكترونات ذات طاقات منخفضة . كما أنه عند المدى المرتفع من الطاقة لوحظ أن قيم دالة التوزيع لا تتأثر كثيراً بإهمال عملية التأين المشارك . وربما يرجع ذلك إلى أنه بزيادة قدرة الليزر فإن عمليات التأين مثل تأين بننج والتأين بالتصادم الإلكتروني يمكنها أن تتغلب على فقد في كثافة الإلكترونات الناتج عن إهمال عملية التأين المشارك .

أما في الشكل (ii) والذي فيه تم إهمال عملية تأين بننج (منحنى 2) فجد أن دالة التوزيع المحسوبة تختفي تماماً عند القيم  $b$  ،  $b$  مما يؤكد أن كثافة الإلكترونات تنتج عن عملية تأين بننج ، بالإضافة إلى ذلك فإنه عند القدرة المرتفعة (شكل 5-4) فجد أنه على الرغم من اختفاء القيمتين  $b$  ،  $b$  إلا أن قيم دالة التوزيع على المدى  $4.25 \text{ eV} \rightarrow 0.75$  تتوافق في حالة وجود هذه العملية (منحنى 1) وإهمالها (منحنى 2) ، بعكس الحال عند القيم المنخفضة للقدرة (شكل 5-3) فجد أن قيمة دالة التوزيع الممثلة بمنحنى (2) تقع أدنى منحنى (1) على مدى الطاقة  $2.5 \text{ eV} \rightarrow 1.5$  . وذلك يشير إلى أن هذه العملية تؤدي إلى زيادة دالة التوزيع على هذا المدى من الطاقة ، ويعزى ذلك إلى الإلكترونات التي تنتج عن عملية بننج بطاقة تتراوح ما بين  $0.25 \text{ eV} \rightarrow 0.5$  ويتم تسخينها خلال تصادم فائق المرونة مع ذرات المستوى المشبع عند طاقة  $1.67 \text{ eV}$  .

وبإهمال عملية مشاركة الطاقة شكل (iii) عند القيمة المنخفضة لقدرة الليزر (شكل 5-3) والقيمة المرتفعة (شكل 5-4) للقدرة نلاحظ أيضاً اختفاء القيمتان  $b$  ،  $b$  ، بينما تتوافق قيم الدالة تماماً للمنحنين (1) و(2) على المدى المرتفع من الطاقة . ويدل ذلك على أن هذه العملية هي المسئولة عن زيادة نمو إسكان مستويات الإثارة العليا والتي تساهم بشكل مباشر في زيادة معدل حدوث عملية تأين بننج .

أما العملية الأخيرة شكل (iv) والمسئولة عن تسخين (زيادة طاقة) الإلكترونات خلال تصادم فائق المرونة مع ذرات المستوى المشبع  $5p$  . فجد أنها تؤثر فقط على المدى المرتفع من طاقة الإلكترونات  $4.25 \text{ eV} \rightarrow 0.75$  ويفيد ذلك اختفاء قيم دالة التوزيع على هذا المدى



كما يوضح المنحنى (2) في الشكل (iv) لقدرة الليزر المنخفضة (شكل 5-3) وقدرة الليزر المرتفعة (شكل 5-4).

### 5 - أ - 3 التكوين الزمني لكثافة الالكترونات .

#### 5 - A - 3 Time evolution of the electrons density .

لدراسة تأثير قدرة الليزر على التكوين الزمني لكثافة الالكترونات شكل (5-5) يمثل التغير في الكثافة خلال فترة التشيع عند قيم لقدرة أشعة الليزر 50 mW (منحنى 1) ، 300 mW (منحنى 2) ، 500 mW (منحنى 3) . نلاحظ من هذا الشكل أن كثافة الالكترونات تزيد بشكل سريع عند بداية الزمن ثم تتزايد تدريجياً إلى ns 100 بعدها تأخذ القيم في الزيادة الطفيفة حتى نهاية الفترة الزمنية . كما أن كثافة الالكترونات تتزايد مع زيادة قدرة الليزر حيث تتغير قيمتها من  $10^1 \text{ cm}^{-3}$  إلى  $10^4 \text{ cm}^{-3}$  عند بداية الفترة الزمنية مع تغير القدرة من 50 mW إلى 500 mW ، بينما عند نهاية الزمن نجد أن كثافة الالكترونات تصل إلى قيمة  $10^6 \text{ cm}^{-3}$  عند القدرة المنخفضة (منحنى 1) وتزداد لتصل إلى  $10^9 \text{ cm}^{-3}$  عند القدرة المرتفعة(منحنى 3) ، أي أنها تعادل نسبة عالية من تأين البخار مما يدل على زيادة معدل التأين بزيادة القدرة . ويمكن تفسير الزيادة لكثافة الالكترونات على النحو التالي : خلال المراحل الأولية لزمن التعرض تتولد الالكترونات بمعدل مرتفع خلال عملية التأين المشارك ، بعدها يبدأ معدل نمو كثافة الالكترونات في الانخفاض نتيجة للمنافسة بين عمليتي إنتاج الالكترونات خلال تأين بنجح وكذلك التأين بالتصادم غير المرن للذرات في المستوى الأرضي والمستويات المثاره وكذلك عمليات فقد الالكترونات بواسطة إعادة الاتحاد الإشعاعي وثلاثي الأجسام .

ولتوضيح تغير كثافة الالكترونات بتغير قدرة أشعة الليزر يعطي شكل (5-6) تغير كثافة الالكترونات كدالة في قدرة الليزر لقيم مختلفة لزمن تشيع بخار الروبيديوم . نلاحظ في هذا الشكل أنه بزيادة القدرة تزداد كثافة الالكترونات تدريجياً إلى قيمة القدرة 400 mW لتعانى بعدها من زيادة سريعة ، كما نلاحظ انخفاض معدل الزيادة في نمو كثافة الالكترونات مع زيادة زمن التشيع . حيث نجد أن قيم كثافة الالكترونات لا تتغير بشكل ملحوظ عند تغير فترة التشيع من ns 100 إلى 200 . وهذا يتنقق مع الزيادة البطيئة في كثافة الالكترونات خلال هذه الفترة الموضحة في شكل (5-5) .



### 5 – A – 4 Electron mean energy .

### 5 – أ – 4 متوسط طاقة الالكترون .

من دراسة دالة توزيع طاقة الالكترونات <sup>16</sup> نلاحظ أن الالكترونات تعطي مدى من الطاقة يتراوح ما بين  $4.25 \text{ eV}$  ،  $0$  . هذا وبالتالي يؤدي إلى احتمالية حدوث عمليات تصادمية يكتسب فيها الالكترون مقداراً من الطاقة . كما أنه يمكن أن يفقد هذه الطاقة خلال عملية تصادم أخرى . من هنا نجد أن متوسط طاقة الالكترون يتغير خلال فترة التشعيع . يؤكد ذلك شكل (5-7) والذي يمثل تغير متوسط طاقة الالكترونات كدالة في الزمن عند القيم المختلفة للقدرة . يتضح من الشكل أنه عند بداية الزمن يبدأ متوسط طاقة الالكترون بقيم منخفضة ويترافق سريعاً خلال النانو الثانية الأولى يتبعه زيادة تدريجية حتى  $ns = 50$  ليستقر بعدها إلى نهاية زمن التشعيع وذلك للقيم المنخفضة لقدرة الليزر (منحنى 1) . أما عند أعلى قيمة لقدرة  $500 \text{ mW}$  (منحنى 3) فنجد أن قيم متوسط طاقة الالكترون على المدى الزمني من  $10 \text{ ns}$  إلى  $300 \text{ ns}$  تقع أدنى من كل من القيم المحسوبة عند القدرة  $50 \text{ mW}$  (منحنى 1) و  $W$  (منحنى 2) وتترافق ببطء حتى نهاية زمن التشعيع . ويتوافق هذا التغير في متوسط الطاقة للمنحنى (3) مع الزيادة في كثافة الالكترونات (شكل 5-5) خلال زمن التشعيع لنفس المنحنى ، حيث يفسر هذا الانخفاض في متوسط طاقة الالكترون الزيادة في كثافة الالكترونات نتيجة لفقد طاقة الالكترونات خلال عملية تصادم غير من يؤدي إلى تأين ذرات الروبيديوم .

أوضحت هذه الدراسة الدور الهام الذي تلعبه كل من عمليتي التأين المشارك وتأين بنج في الحصول على الكثافة الابتدائية للالكترونات المسئولة عن تكون البلازما في بخار الروبيديوم . وحيث أن هاتين العمليتين ينتج عنهما تكون تيار من الأيونات الموجبة الجزيئية والذرية على الترتيب . لذلك فيما يلي نوضح التكوين الزمني لهذه الأيونات .

### 5 – A – 5 Time evolution of the ionic current .



يوضح شكل (5-8) نمو كثافة الأيونات الجزيئية الناتجة عن عملية التأين المشارك خلال زمن التشيعع عند القيم المختلفة لقدرة الليزر  $W = 50 \text{ mW}$  (منحنى 1) ،  $300 \text{ mW}$  (منحنى 2)،  $500 \text{ mW}$  (منحنى 3) . نلاحظ في هذا الشكل أن تيار الأيونات يتزايد مع زيادة كل من زمن التشيعع وقدرة الليزر ، وتتوقف قيمة التيار عند نهاية الزمن على قدرة الليزر ، فنجد أنه عند القيم المنخفضة لقدرة (منحنى 1) يبدأ التيار بقيمة منخفضة جدًا ( $10 \text{ آيونات}$ ) وينتهي عند  $10^4 \text{ آيون}$  ، بينما عند أعلى قيمة لقدرة (منحنى 3) فإن كثافة الأيونات تبدأ بقيمة  $10^4 \text{ آيون}$  وتزداد إلى أن تصل في نهاية الزمن  $10^{6-2} \times 10^4 \text{ آيون}$  . كما نلاحظ أيضًا أن معدل نمو التيار يزداد خلال الفترة الزمنية من  $1 \text{ ns}$  إلى  $100 \text{ ns}$  . بعدها ينخفض معدل نمو التيار حتى  $200 \text{ ns}$  . ويعزى هذا السلوك في نمو التيار للدور الفعال الذي تلعبه عملية التأين المشارك وهي العملية الوحيدة المسؤولة عن تكون تيار الأيونات الجزيئية ، نظرًا لاعتمادها على الكثافة العالية من الذرات في المستوى الرئيسي المسبح  $5p$  .

وتؤكدًا لهذه الدراسة شكل (5-9) يمثل العلاقة بين التيار الأيوني الجزيئي لبخار الروبيديوم وقدرة أشعة الليزر عند قيم مختلفة لزمن التشيعع . نلاحظ في هذا الشكل أنه عند  $1 \text{ ns}$  يبدأ التيار بقيم منخفضة تتزايد أسيًا حتى  $W = 400 \text{ mW}$  ، بعدها يعاني التيار من زيادة ملحوظة حتى  $W = 500 \text{ mW}$  ، ويتكرر هذا السلوك عند الأزمنة المختلفة مع ملاحظة الزيادة السريعة في قيمة التيار من  $1 \text{ ns}$  إلى  $5 \text{ ns}$  وكذلك من  $10 \text{ ns}$  إلى  $50 \text{ ns}$  بعدها ينخفض معدل نمو التيار ، ويشير إلى ذلك تقارب المنحنى من  $5$  إلى  $7$  . ويتفق ذلك مع التغير الزمني لنفس التيار الممثل في شكل (5-8) .

أما في حالة الأيونات الذرية شكل (10-5) فنجد أن كثافة الأيونات تبدأ بقيم منخفضة جدًا وتزداد أيضًا بزيادة كل من زمن التشيعع وقدرة الليزر . وتتغير قيم تيار الأيونات الذرية عند بداية الزمن من  $10^{-3} \text{ s}$  إلى  $30 \text{ آيون}$  وينتظر ذلك تغير في زيادة الكثافة عند نهاية الزمن من  $10^{-3} \text{ s}$  إلى  $2 \times 10^6 \text{ آيون}$  (منحنى 1) مع زيادة قدرة الليزر . بالإضافة إلى ذلك نلاحظ أن قيم التيار تتزايد بشكل سريع خلال الفترة الزمنية  $5 \text{ ns} \rightarrow 1 \text{ ns}$  لينخفض معدل الزيادة مع زيادة زمن التشيعع على المدى  $200 \text{ ns} \rightarrow 100 \text{ ns}$  . ويرجع هذا إلى الحقيقة التي تنص على أن هذا التيار ينتج أساسًا خلال عملية تأين بنج أثناء المراحل الأولى لزمن التشيعع  $50 \text{ ns} \rightarrow 1 \text{ ns}$  ، بعد هذه الفترة الزمنية يمكن للاكترونات الناتجة



عن هذه العملية أن تكتسب مقداراً كافياً من الطاقة لتعاني من تصادم غير مرن مع ذرات بخار الروبيديوم في المستوى الأرضي والمستويات المثاررة مؤدية إلى تأينها ، وهذا وبالتالي يعمل على زيادة التيار الذري ولكن بمعدل منخفض .

ولتأكيد هذا السلوك تم تمثيل العلاقة بين تغير تيار الأيونات الذرية مع قدرة الليزر عند قيم مختلفة لزمن التشيع كما يوضح شكل (5-11) . نلاحظ في هذا الشكل أن قيم التيار تتزايد أيضاً بطريقة أسيّة مع قدرة الليزر على مدى قدرة  $mW$   $400 \rightarrow 50$  ، بعدها يعاني التيار من زيادة سريعة عند  $mW$   $500$  . بالإضافة إلى ذلك فإن قيم التيار تتزايد بشكل سريع لنفس قيمة القدرة على مدى الزمن  $ns$   $100 \rightarrow 1$  ، بعدها ينخفض معدل الزيادة في قيمة التيار بشكل ملحوظ حيث تقارب القيم المحسوبة والممثلة بالمنحنيات  $5,6,7$  . ويتفق ذلك مع التغير الزمني لنفس التيار الموضح في شكل (5-10) عند قيم القدرة  $50 - 300 - 500 mW$  .

لاختبار صلاحية النموذج تمت مقارنة القيم المحسوبة والمقاسة عملياً للأيونات الجزيئية والذرية بواسطة شيري ومجموعته (Che'ret et. al., 1982) . حيث تم في هذه التجربة تحليل ومشاهدة تيار الأيونات الذرية والجزئية الناتجة عن عمليات تأين تصادمي لذرات الروبيديوم المثاررة بالليزر ، وقد تم استخدام صيغة أساسية لوصف تيار الأيونات الذرية تعطى على النحو التالي :

$$I_{Pl} = e V K_{Pl} N(5s) N(nl) \quad (5-3)$$

بينما تيار الأيونات الجزيئية أعطي بواسطة العلاقة :

$$I_{AI} = e V K_{AI} N^2(5p) \quad (5-4)$$

في هذه العلاقات  $I_{AI}$  ،  $I_{Pl}$  تمثل تيار الأيونات لتأين بینج والتأين المشارك على الترتيب .  $e$  هي شحنة الالكترون .  $V$  هي حجم التفاعل والذي يساوي الحجم المتداخل لحزمنتي أشعة



لليزر . وقد تم تقدير حجم التفاعل لحزمتي الليزر ليكون  $cm^{-3} \times 10^{-2}$  وفقاً للشروط المعملية (Che'ret et. al., 1982) .

شكل (5-12) يوضح تغير تيار الأيونات الجزيئية للروبيديوم مع قدرة الليزر ومقارنة ذلك بالقيم المقاسة عملياً بواسطة شيري ومجموعته . وقد أوضح المنحنى توافق في السلوك مع القيم المقاسة عملياً ، ويرجع هذا السلوك لعملية التأين المشارك .

شكل (5-13) يمثل مقارنة بين القيم المحسوبة والمقاسة عملياً لتغير تيار الأيونات الذرية مع قدرة الليزر لبخار الروبيديوم . وقد أوضح هذا الشكل تغيراً أسيّاً لتيار الأيونات مع قدرة الليزر ، ويرجع هذا التغير إلى عملية تأين بینج .

وبشكل عام نجد في كل من الأشكال (5-12) و (5-13) أن هناك توافق في السلوك بين القيم المقاسة عملياً وتلك المحسوبة بواسطة النموذج ، مما يؤكد صلاحية النموذج في تفسير النتائج العملية وفقاً للعمليات الفيزيائية التي أخذت في الاعتبار .

وحيث أن الأيونات الذرية تنتج أساساً عن عملية تأين بینج والتي بدورها تعتمد على كثافة مستويات الطاقة المثاره لذلك فيما يلي نقدم شرحًا تفصيلياً عن التكوين الزمني لكتافة المستويات المثاره .

## 5 - أ - 6 التكوين الزمني لكتافة المستويات المثاره .

### 5 - A - 6 Time evolution of the excited states .

من هذه الدراسة وجد أن كثافة المستويات المثاره تلعب دوراً هاماً في معدل حدوث العمليات التصادمية المسؤولة عن تأين البخار . ويعتمد هذا التغير على كل من زمن التشيع وكذلك قدرة أشعة الليزر . من الجدول (5-1) يتضح أن كثافة هذه المستويات عند بداية زمن التشيع تقاد أن تكون خالية . وقد أشارت نتائج الحسابات أن مستويات الطاقة التي تساهم في هذه الحالة هي (d) 5d (c) 4d (b) 6s (a) 6p . لذلك سوف نركز فقط على العوامل التي تؤدي إلى تغير هذه المستويات .

شكل (5-14) يوضح التغير الزمني لكتافة المستوى المثار (a) 4d عند القيم المختلفة لقدرة أشعة الليزر . نلاحظ في هذا الشكل أن كثافة المستوى تتزايد بتزايد كل من قدرة الليزر وزمن التشيع ، وقد لوحظ هذا السلوك لمستويات الطاقة المثاره المختلفة كما توضح الأشكال (b),(c),(d),(5-14) مع اختلاف قيمة كثافة المستوى عند بداية ونهاية زمن التشيع



لكل قيم القدرة . حيث نلاحظ أنه خلال فترة التشيع للقيم المختلفة للقدرة تتغير كثافة المستويات على النحو التالية ، المستوى  $4d$  تتغير قيمه من  $10^4$  إلى  $10^9$  ، المستوى  $6s$  تتغير قيمه من  $10^4$  إلى  $10^9$  ، المستوى  $6p$  تتغير قيمه من  $10^5$  إلى  $10^{10}$  ، المستوى  $5d$  تتغير قيمه من  $10^2$  إلى  $10^6$  . وربما ترجع هذه الكثافات إلى عملية مشاركة الطاقة وعملية إعادة الاتصال ثلاثية الأجسام والتي تعمل بشكل فعال في زيادة كثافة مستويات الإثارة المرتفعة للذرة . كما يرجع الانخفاض في كثافة المستوى  $5d$  إلى التأين السريع بواسطة الكترونات ذات طاقة منخفضة نتجت عن عملية تأين بنج والتي توضحها القسم b ، b في التركيب الطيفي للاكترونات عند قيم طاقة  $0.25 \text{ eV}$  ،  $0.5 \text{ eV}$  واكتسبت طاقة خلال عملية تصادم فائق المرونة .

ولوضع النموذج في صورة أكثر شمولية وأخذ في الاعتبار بعض العمليات التي أشارت القياسات العملية لأهميتها في تكوين البلازما في أبخرة العناصر القلوية ، لذلك تم تطوير النموذج بدمج كل من عملية التأين الفوتوني وعملية هورنبك مولنار وعملية تكون زوج من الأيونات . حيث أشارت هذه القياسات إلى الدور الفعال الذي تلعبه هذه العمليات في تأين بخار الروبيديوم (Barbier et. al., 1986; Barbier and Che'ret, 1987) .

أجريت الحسابات بتطبيق هذا النموذج وفقاً للبرنامج الموضح في ملحق (II) للحصول على النتائج التالية .

### 5 - B نتائج النموذج المطور .

تم تطبيق النموذج المطور لدراسة التأثير المفرد لكل عملية على حدا على البلازما المكونة في بخار الروبيديوم ، من خلال التركيب الطيفي للاكترونات والتكون الزمني للمعاملات المتعلقة به ، في وجود وجود عند إهمال كل عملية فيزيائية كما سنوضح فيما يلي .

#### 5 - ب - 1 دراسة تأثير عملية التأين الفوتوني .

##### 5 - B - 1 Study of the effect of photoionization process .

لمقارنة تأثير عملية التأين الفوتوني على البلازما المكونة تم تطبيق النموذج العددية بأخذ في الاعتبار هذه العملية لحساب دالة توزيع طاقة الاكترونات ومتغيراتها عند نفس الفترة الزمنية للتشيع وكذلك قيم قدرة الليزر .



## 5 - ب - 1 - 1 دالة توزيع طاقة الالكترون .

### 5 - B - 1 - 1 Electron energy distribution function .

يوضح شكل (5-15) مقارنة بين دالة التوزيع محسوبة في وجود (a) و عند إهمال (b) عملية التأين الفوتوني . نلاحظ في حالة وجود عملية التأين الفوتوني شكل (a) ظهور قم عند طاقة eV 1.25 ، و اختفاء القمة c عند eV 1 و تغير مواضع القم على المدى المرتفع لطاقة الالكترونات ، مع زيادة قيمة الدالة بزيادة الفترة الزمنية للتشعيع وذلك عند القيم المختلفة لقدرة الليزر الممثلة بالأسكال  $50 \text{ mW}$  (5-15-A) ،  $300 \text{ mW}$  (5-15-B) ،  $500 \text{ mW}$  (5-15-C) . كما أن زيادة قدرة الليزر تعمل فقط على زيادة ارتفاع القم ، أي أن زيادة القدرة تعمل على زيادة كثافة الالكترونات . وهذا يؤكد الدور الفعال الذي تلعبه هذه العملية في تكون البلازما .

ولإعطاء نظرة أعمق عن الدور الذي تلعبه عملية التأين الفوتوني أجريت الحسابات لتعيين دالة توزيع طاقة الالكترونات و دراسة الترابط بين هذه العملية والتأثير المفرد لكل من عملية التأين المشارك ، عملية تأين بنج ، عملية مشاركة الطاقة ، عملية التصادم فائق المرونة . حيث أن هذه العمليات هي المسؤولة عن الحصول على كثافة الالكترونات الابتدائية .

يمثل الشكل (5-16) مقارنة بين دالة توزيع طاقة الالكترونات محسوبة في وجود جميع العمليات (منحنى 1) و عند إهمال أحد العمليات الآتية والممثلة بمنحنى (2) على النحو التالي ، عملية التأين المشارك شكل (i) ، عملية تأين بنج شكل (ii) ، عملية مشاركة الطاقة شكل (iii) ، عملية التصادم فائق المرونة شكل (iv) .

نلاحظ من شكل (i) (إهمال عملية التأين المشارك) اختفاء القمة a مع تطابق منحنى (1) و منحنى (2) على مدى طاقة الالكترون . ويدل ذلك على أن كثافة الالكترونات التي تكون هذه القمة تنتج من عملية التأين المشارك . كما يشير التطابق بين منحنى (1) و منحنى (2) أو عدم التغير في قيم دالة التوزيع عند الطاقة (eV 0.75 , 1 eV) أن هذه العملية لا تؤثر على عملية التأين الفوتوني .

ذلك في الشكل (ii) نجد أنه عند إهمال عملية تأين بنج تختفي تماماً القمتان b,b عند طاقة eV  $0.5 \rightarrow 0.25$  بينما تتطابق تقريرياً دالة التوزيع للمنحنين (1) و (2) على المدى الذي



يعلو هذه القمة . وهذا يؤكد أن كثافة الالكترونات التي تكون هاتين القمتين تنتج عن عملية تأين بنج ، وأن هذه العملية لا تؤثر بشكل مباشر على عملية التأين الفوتوني . وبملاحظة شكل (iii) فنجد أنه عند إهمال عملية مشاركة الطاقة تخفي كثافة الالكترونات عند طاقة  $eV = 0.75 \rightarrow 0.25$  ( أي الالكترونات الناتجة عن تأين بنج والتأين الفوتوني ) . وهذا يدل على أن عملية مشاركة الطاقة تعمل على زيادة كثافة مستويات الإثارة العليا ، والتي تساهم بشكل فعال في زيادة معدل هاتين العمليتين . بالإضافة إلى ذلك يلاحظ اختفاء القمة عند طاقة  $eV = 2$  ، والتي ترجع إلى الالكترونات الناتجة عن عملية تأين بنج وتكتسب طاقة خلال تصادم فائق المرونة مع ذرات المستويات المثاررة . توضح هذه الدراسة تأثير عملية مشاركة الطاقة على عملية التأين الفوتوني .<sup>132</sup>

شكل (iv) يوضح مقارنة لدالة التوزيع المحسوبة في وجود وإهمال عملية التصادم فائق المرونة . نلاحظ اختفاء قيم الدالة تماماً على مدى الطاقة الذي يزيد عن  $eV = 1.5$  وهو المدى الذي تؤثر فيه عملية التصادم فائق المرونة بشكل فعال . وهذا يؤكد التأثير الفعال لعملية التأين الفوتوني على تسخين الالكترونات من خلال عملية التصادم فائق المرونة . ومع زيادة قدرة الليزر الأشكار (5-17) ، (5-18) نجد أن دالة التوزيع تسلك نفس السلوك مما يؤكد أن زيادة القدرة تعمل فقط على زيادة قيمة الدالة ، واحتفاظ مواضع القمم عند نفس قيم الطاقة دلالة على عدم تغير العمليات الفيزيائية في هذه الحالة . من دراسة دالة توزيع طاقة الالكترونات أمكن تحديد العمليات الفيزيائية المسؤولة عن تكون الكثافة الابتدائية للالكترونات ونموها ، وذلك عن طريق تحليل التركيب الطيفي للالكترونات على مدى الطاقة .

ولدراسة الدور الفعال الذي تلعبه عملية التأين الفوتوني في تكون البلازما ، ومساهمة هذه العملية بجانب عمليات تأين بنج والتأين المشارك والتأين بالتصادم الالكتروني ، فيما يلي نوضح دراسة عن التكوين الزمني لكثافة الالكترونات .

### 5 - ب - 1 - 2 التكوين الزمني لكثافة الالكترونات .

#### 5 – B – 1 – 2 Time evolution of the electrons density .

أجريت الحسابات للحصول على التكوين الزمني لكثافة الالكترونات خلال فترة التشعيغ عند القيم المختلفة لقدرة الليزر، وتم تمثيل ذلك بيانياً كما يوضح الشكل (5-19) . في



هذا الشكل يمثل منحنى (1) وجود جميع العمليات بينما منحنى (2) يمثل كثافة الالكترونات عند إهمال عملية التأين الفوتوني . من الشكل نلاحظ أن كثافة الالكترونات تزداد زيادة ملحوظة عند وجود عملية التأين الفوتوني كما يوضح المنحنى (1) عند القيم المختلفة لقدرة الليزر . ونلاحظ أن كثافة الالكترونات الممثلة بمنحنى (1) تأخذ قيم مرتفعة عند بداية زمن التشيع ، وتتزايد تدريجياً حتى نهاية الزمن . كما نلاحظ أيضاً عند القدرة المنخفضة  $mW$  50 تبدأ كثافة الالكترونات عند بداية زمن التشيع في وجود عملية التأين الفوتوني بمقدار يصل إلى  $10^7$  (منحنى 1) ويصل في نهاية الزمن إلى  $e/cm^3 10^{10}$  . ومع زيادة القدرة تصل كثافة الالكترونات عند نهاية الزمن إلى  $e/cm^3 10^{13}$  .

من هذه الدراسة نجد أن عملية التأين الفوتوني تعمل على زيادة كثافة الالكترونات بطريقة مباشرة .

ومع زيادة قدرة أشعة الليزر نجد أن سلوك كثافة الالكترونات خلال فترة التشيع في وجود وإهمال عملية التأين الفوتوني لا يختلف تماماً عنه في حالة القدرة المنخفضة ، وإنما فقط تزداد كثافة الالكترونات مع زيادة قدرة الليزر . حيث تصل الكثافة عند أعلى قيمة للقدرة  $mW$  500 إلى  $e/cm^3 10^9$  في نهاية زمن التشيع عند إهمال عملية التأين الفوتوني ، بينما يزداد هذا المقدار ليصل إلى حوالي  $e/cm^3 10^{13}$  عند نفس الفترة الزمنية بأخذ هذه العملية في الاعتبار .

### 5- ب - 1 - 3 تأثير التأين الفوتوني على متوسط طاقة الالكترون .

#### 5 – B – 1 – 3 The effect of photoionization on the electron mean energy .

كما رأينا أن وجود عملية التأين الفوتوني يؤدي إلى زيادة كثافة الالكترونات والتي تظهر على شكل قمم في دالة توزيع طاقة الالكترونات عند الطاقات المنخفضة (0.75 eV , 1.25 eV) . وقد أعزى ذلك إلى الدور الفعال الذي تلعبه هذه العملية في زيادة معدل تأين المستويات المثارة التي تملأ خلال عملية مشاركة الطاقة . بالإضافة إلى أن هذه الزيادة في كثافة الالكترونات عند الطاقات المنخفضة يناظرها انخفاض في كثافة الالكترونات على المدى المرتفع من الطاقة مما يعطي تغير في متوسط طاقة الالكترون .

وربما يرجع ذلك إلى زيادة معدل التأين الفوتوني عن معدل التأين بالتصادم الالكتروني والذي غالباً ما ينتج عنه الالكترونات تقع في المدى المرتفع من الطاقة . شكل (5-20) يمثل التغير الزمني لمتوسط طاقة الالكترون خلال زمن التشيع عند القيم المختلفة



لقدرة الليزر (iii) 500 mW (ii) 300 mW (i) 50 mW . ولدراسة تأثير عملية التأين الفوتوني منحنى(2) في هذا الشكل يمثل قيم متوسط الطاقة محسوبة عند إهمال هذه العملية . نلاحظ من منحنى (1) أن متوسط طاقة الالكترون يأخذ قيمًا ثابتة على مدى زمن التشيع للقيم المختلفة لقدرة ، وتناظر هذه القيمة طاقة الالكترون التي تظهر عندها أعلى قمة في دالة التوزيع وهي eV 1.25 . ويدل ذلك على أن معظم الالكترونات في وجود عملية التأين الفوتوني يكون لها طاقة eV 1.25 .

نظرًا لأن عملية التأين الفوتوني تعمل على تأكل كثافة المستويات ، لذلك كان من الضروري دراسة تأثير عملية التأين الفوتوني على المستويات المثاررة . لعمل ذلك أجريت الحسابات للحصول على التكوين الزمني للمستويات المثاررة (d) 5d (c) 6p (b) 6s (a) 4d كما يوضح الشكل(5-21) عند قيم القدرة W 50 mW منحنى (1) ، 300 mW منحنى (2) ، 500 mW منحنى (3) . وقد وجد أن عملية التأين الفوتوني لا تؤثر بشكل ملحوظ على التكوين الزمني لمستويات الطاقة المثاررة ، وربما يرجع ذلك إلى تناقض كلٍ من عملية التأين الفوتوني وتأين بنج في تأين هذه المستويات . كما أظهرت دراسة تأثير الترابط بين العمليات المختلفة وهذه العملية أن كثافة المستويات لا تتأثر إلا عند إهمال عملية المشاركة في الطاقة حيث تختفي تماماً كثافة المستوى مهماً تغيرت قدرة الليزر كما يوضح المنحنى (4) في هذه الأشكال . وهذا يوضح الدور الفعال الذي تلعبه هذه العملية في زيادة كثافة المستويات المثاررة .

## 5 - ب - 2 تأثير عملية تأين هورنبك مولنار .

### 5 - B - 2 The effect of Hornbeck –Molnar ionization process .

أجريت الحسابات باستخدام النموذج المطور الذي أخذ في الاعتبار فقط عملية تأين هورنبك مولنار لتعيين التكوين الزمني لدالة توزيع طاقة الالكترونات على مدى زمن التشيع يصل إلى ns 200 وذلك عند القيم المختلفة لقدرة الليزر (i) 50 mW, (ii) 300 mW, (iii) 500 mW . نلاحظ في هذا الشكل أن وجود عملية تأين هورنبك مولنار يؤدي إلى زيادة طفيفة في قيم الدالة على مدى طاقة الالكترون ، مع عدم تغيير موقع القم (شكل 5-22) . ويرجع ذلك إلى أن هذه العملية تنتج عن تصادم بين إحدى الذرات في مستويات الإثارة العليا التي يمكن أن تأخذ قيمًا مختلفة من الطاقة وذرة في المستوى الأرضي ، وبالتالي يؤدي إلى تكون كثافة من الالكترونات تغطي مدى الطاقة .



كما يلاحظ أيضًا أن قيم دالة التوزيع تزداد بزيادة كل من زمن التشيع وقدرة أشعة الليزر، وهذا ما يؤكد شكل (5-23) والذي يمثل تأثير قدرة الليزر على قيم دالة التوزيع عند نهاية الفترة الزمنية (200 ns). نلاحظ أن أعلى قيمة تقع عند قدرة 500 mW مع تماثل دالة التوزيع من حيث مواضع القمم مما يؤكد أن زيادة القدرة لا تغير في العمليات الفيزيائية ولكنها فقط تزيد من معدل حدوثها.

وتدعيمًا لهذه الدراسة في شكل (5-24) تم تمثيل التغيير الزمني لكتافة الالكترونات الناتجة عن عمليات التأين في وجود عملية تأين هورنباك مولنار عند قيم قدرة الليزر تحت الدراسة . نلاحظ في هذا الشكل أن كثافة الالكترونات تبدأ بقيم منخفضة تتزايد مع زيادة الزمن لتصل إلى قيم تتراوح ما بين  $10^8 \rightarrow 10^{10} \text{ cm}^{-3}$  عند نهاية زمن التشيع عند تغير قدرة الليزر من 500 mW  $\rightarrow$  50 . وهذا يؤكد أن عملية تأين هورنباك مولنار تعمل على زيادة كثافة الالكترونات ، أي أنها تزيد من كثافة البلازمما المتركوننة .

وحيث أن زيادة كثافة الالكترونات تؤدي إلى زيادة احتمالية عمليات التصادم والتي بدورها تعمل على تغير في طاقة الالكترون خلال زمن التشيع عند القيم المختلفة لقدرة الليزر ، شكل (5-25) يوضح تأثير عملية تأين هورنباك مولنار على التغيير الزمني في متوسط طاقة الالكترون . يتضح من هذا الشكل أن متوسط طاقة الالكترون يبدأ بقيم منخفضة ويتغير بتغير قدرة الليزر خلال المراحل الابتدائية لزمن التشيع ، وتتقارب قيم متوسط الطاقة مع زيادة الزمن ، حيث تستقر بقيمة حوالي 2 eV . معأخذ في الاعتبار أن قيمة متوسط الطاقة تزيد بزيادة القدرة ؛ بعكس ما هو الحال عند إهمال هذه العملية ، حيث يتلاقص متوسط طاقة الالكترون مع زيادة القدرة خلال نفس الفترة الزمنية شكل (5-7) . وهذا يوضح تأثير عملية هورنباك مولنار والتي فيها يتم الحصول على توزيع طيفي من الكترونات يغطي مدى واسع من الطاقة .

وعلى الرغم من أن عملية تأين هورنباك مولنار تعتمد أساساً على تفاعل بين ذرة في المستوى الأرضي وأخرى في أحد المستويات المثارية العليا ذات الكثافة المنخفضة . فإن هذا التفاعل لم يؤثر بشكل ملحوظ في كثافة هذه المستويات كما يوضح شكل (5-26) والذي يمثل التغيير الزمني لكتافة بعض المستويات المثارية التي تشارك في عملية هورنباك مولنار عند القيم المختلفة لقدرة الليزر 50 mW منحنى (1) ، 300 mW منحنى



(2)  $500 \text{ mW}$  منحنى (3) . وهذا يتوافق مع الزيادة الطفيفة في دالة التوزيع وكثافة الالكترونات والتي أوضحتها الأشكال (5-22) ، (5-24) على الترتيب .

ومن جانب آخر تؤدي عملية تأين هورنباك مولنار إلى زيادة تيار الأيونات الجزيئي كما يوضح شكل (5-27) ، والذي يمثل العلاقة بين تيار الأيونات الجزيئي وزمن التشيع عند قيم القدرة المختلفة لليزر . من هذا الشكل يلاحظ زيادة أسيّة لتيار الأيونات مع زمن التشيع وكذلك مع قدرة الليزر . بمقارنة هذا الشكل بشكل (5-8) وجد أن عملية تأين هورنباك مولنار تعمل فقط على زيادة طفيفة في تيار الأيونات الجزيئية ، بينما ينتج هذا التيار أساساً عن عملية التأين المشارك . نلاحظ أن قيم التيار عند نهاية زمن التشيع تتراوح ما بين  $10^6 \rightarrow 10^4$  عند إهمال عملية هورنباك مولنار شكل (5-8) ، بينما في وجودها تتغير ما بين  $10^8 \rightarrow 10^6$  شكل (5-27) . وعلى الرغم من ذلك فإن تكون البلازمما من بخار الروبيديوم يؤدي إلى الحصول على تيار نقى من الأيونات الجزيئية والذي يمكن أن يجد أحد التطبيقات في المجالات المختلفة .

كمارأينا من الدراسة السابقة أن عملية تأين هورنباك مولنار تعمل على زيادة طفيفة في كثافة الالكترونات . كما أنها تؤدي أيضاً إلى زيادة تيار الأيونات الجزيئية . ونظراً لأن تكون البلازمما في هذه الحالة يتم خلال العديد من العمليات الفيزيائية مثل ( التأين المشارك ، تأين بنج ، مشاركة الطاقة ،.....) لذلك فيما يلى نوضح الترابط بين عملية تأين هورنباك مولنار وهذه العمليات . يتم ذلك بحساب دالة توزيع طاقة الالكترونات عند الإهمال المتتابع لكل عملية على حدا . كما يوضح شكل (5-28) عند إهمال (i) عملية التأين المشارك ، (ii) عملية تأين بنج ، (iii) عملية مشاركة الطاقة ، (iv) عملية التصادم فائق المرونة ، دالة توزيع طاقة الالكترونات عند زمن تشيع  $200 \text{ ns}$  وقدرة ليزر  $50 \text{ mW}$  .

نلاحظ في شكل (i) أن وجود عملية تأين هورنباك مولنار لا يؤثر على شكل الدالة عند إهمال عملية التأين المشارك حيث تخفي القمة  $a$  (منحنى 2) ، بينما في شكل (ii) يؤدي إهمال عملية تأين بنج فقط إلى اختفاء القمم  $b$  ،  $b'$  (منحنى 2) . كما أن إهمال عملية مشاركة الطاقة تعمل أيضاً على اختفاء القمم  $b$  ،  $b'$  مع انخفاض قيم الدالة على مدى طاقة الالكترون(منحنى 2) . أما إهمال عملية التصادم فائق المرونة فتؤدي إلى اختفاء دالة التوزيع على المدى  $4.25 \text{ eV} \rightarrow 0.75$  . من هنا يتضح أن وجود عملية تأين هورنباك مولنار لا يؤثر بشكل فعال على أي من هذه العمليات الفيزيائية . ربما يرجع ذلك إلى أن هذه العمليات تعتمد



أساساً على المستوى المُشبع 5p ذو الكثافة العالية والذي يؤدي إلى زيادة معدل حدوث هذه العمليات ، بينما عملية هورنbeck مولنار تعتمد على كثافة المستوى الأرضي ذو الكثافة العالية أيضاً وأحد مستويات الطاقة المثار المثارة العليا التي تكون في بادئ الأمر شبه خالية ، وتعتمد كثافتها على عمليات مشاركة الطاقة بالتصادم بجانب عملية إعادة الاتصال والإثارة بالتصادم الإلكتروني . والعمليتين الأخيرتين يستلزم لحوثها فترة زمنية ، كما تعتمد أيضاً على قدرة الليزر .

ومع زيادة قدرة الليزر نجد أن هذه العمليات تسلك نفس السلوك مع اختلاف طفيف في قيم دالة توزيع طاقة الإلكترونات عند إهمال العمليات الفيزيائية كما توضح الأشكال (5-29) .

من هذه الدراسة يتضح أن كل من عملية التأين الفوتوني وتأين هورنbeck مولنار يعمل على زيادة كثافة الإلكترونات الحرة . وحيث أن كلا العمليتين تشتراكان في نفس مستويات الطاقة المثار ، لذلك كان من الضروري دراسة التأثير المشترك لهاتين العمليتين كما سنوضح فيما يلي .

### 5 - ب - 3 دراسة التأثير المشترك بين عملية تأين هورنbeck مولنار وعملية التأين الفوتوني .

#### 5 – B – 3 Study of the combined effect for Hornbeck- Molnar and photo ionization processes .

فيما سبق أخذ في الاعتبار فقط التأثير المفرد لكل من عملية التأين الفوتوني وتأين هورنbeck مولنار على دالة توزيع طاقة الإلكترونات ومعاملاتها . ولدراسة التأثير المشترك لكل من هاتين العمليتين تمت مقارنة دالة توزيع طاقة الإلكترونات ومعاملاتها للحالات (عدم وجود عملية التأين الفوتوني وتأين هورنbeck مولنار - الحالة الأولى ، أخذ في الاعتبار التأثير المفرد لكل من عملية التأين الفوتوني وتأين هورنbeck مولنار - الحالة الثانية والثالثة على الترتيب ، التأثير المشترك لهاتين العمليتين - الحالة الرابعة ) .

#### 5 - ب - 3 - 1 دالة توزيع طاقة الإلكترونات .

##### 5 – B – 3 – 1 Electron energy distribution function .



شكل (5-31) يمثل دالة توزيع طاقة الالكترونات عند الأربع حالات المنحنيات (1)، (2)، (3) عند قدرة ليزر  $W = 500 \text{ mW}$  وزمن تشبع  $ns = 200$  ، نلاحظ من الشكل عند التأثير المفرد لعملية التأين الفوتوني (منحنى 2) تظهر زيادة ملحوظة في كثافة الالكترونات عند  $eV = 0.75$  ، بينما تختفي قيم دالة التوزيع على المدى المرتفع من طاقة الالكترونات . في حين يؤدي التأثير المفرد لعملية تأين هورنباك مولنار إلى زيادة طفيفة في كثافة الالكترونات عند الطاقة المنخفضة ( $eV = 0$ ) ، وزيادة ملحوظة في قيم الدالة على المدى المرتفع من طاقة الالكترون . أما التأثير المشترك لكلا العمليتين فيغير من قيم الدالة على المدى المرتفع لطاقة الالكترون ، حيث تأخذ الدالة قيمة مرتفعة ، بينما لا تتأثر قيمها عند المدى المنخفض لطاقة الالكترون . من هنا نجد أن التأثير المشترك لهاتين العمليتين يؤدي إلى زيادة قيم الطيف الالكتروني على مدى طاقة الالكترون ، ويوضح ذلك قيم الدالة المحسوبة في هذه الحالات المذكورة جدول (5-2) . وجد أن هناك تغير طفيف في دالة التوزيع عند طاقة للاكترونات تساوي صفر ، حيث تختفي دالة التوزيع في حالة تأثير عملية التأين الفوتوني في وجود وعدم وجود عملية تأين هورنباك مولنار . بينما التأثير المفرد لعملية هورنباك مولنار يؤدي إلى زيادة ملحوظة في دالة التوزيع عند هذه الطاقة . أما عند  $eV = 0.25$  فتنتوء قيم الدالة المحسوبة عند إهمال عملية التأين الفوتوني سواء بأخذ في الاعتبار أو إهمال عملية تأين هورنباك مولنار ، وتكون قيم الدالة أعلى في حالة إهمال عملية التأين الفوتوني ، كما أن توافق قيم الدالة عند أخذ وإهمال عملية هورنباك مولنار يشير إلى أن هذه العملية لا تؤثر على عملية تأين بنج والتي تعمل على زيادة الدالة عند طاقة  $eV = 0.25$  . كذلك الحال عند  $eV = 0.5$  مع ملاحظة انخفاض قيم الدالة عند هذه الطاقة .  
 وعند طاقة  $eV = 0.75$  يظهر تأثير عملية التأين الفوتوني حيث ترتفع قيم الدالة إلى قيم عالية جداً مع أخذ في الاعتبار أن هذا التأثير ينفرد تماماً لهذه العملية ، حيث أن عملية تأين هورنباك مولنار لا تؤثر في قيم الدالة تماماً . أما عند طاقة  $eV = 1.0$  نجد أن هناك تأثير متفاوت للعمليات الفيزيائية على قيمة الدالة ، حيث نلاحظ أنه تكون لها أدنى قيم في وجود عملية التأين الفوتوني بينما أعلى قيم في وجود عملية تأين هورنباك مولنار . ويقع التأثير المشترك لعملية هورنباك مولنار والتأين الفوتوني وكذلك الإهمال المطلق لهذه العمليات بين القيمتين السابقتين للدالة . وتوضح هذه الدراسة أن الزيادة في دالة التوزيع عند  $eV = 1.0$  نتيجة للتأثير المفرد لعملية تأين هورنباك مولنار . عند طاقة  $eV = 1.25$  يظهر التأثير المفرد لعملية التأين الفوتوني بشكل ملحوظ حيث تصل قيم الدالة إلى أعلى قيمة لها . بالإضافة إلى



ذلك فإنأخذ عملية تأين هورنباك مولنار في الاعتبار سواء مع عملية التأين الفوتوني أو إهمالها يؤدي إلى زيادة قيم الدالة على المدى لطاقة الالكترون الذي يزيد عن  $1 \text{ eV}$ . كما أن تأثير عملية التأين الفوتوني يؤدي إلى تغير موقع قيم الدالة على هذا المدى . مما يدل على اختلاف العمليات الفيزيائية التي تؤدي إلى تكون القمم . ويشير ذلك إلى زيادة معدل فقد طاقة الالكترونات نتيجة لعمليات التصادم غير المرن .

وبشكل عام يمكن استخلاص تأثير عملية تأين هورنباك مولنار فيما يلي :

- زيادة طفيفة في دالة التوزيع عند طاقة  $0.5 \text{ eV}$  .

- زيادة قيمة دالة التوزيع على المدى ابتداء من  $4.25 \text{ eV} \rightarrow 1 \text{ eV}$  .

ونتيجة لذلك فمن المتوقع أن تؤثر هذه الزيادة على كثافة الالكترونات وكذلك متوسط طاقة الالكترون . وحيث أن هذه العملية تنتج عن تفاعل إحدى الذرات في المستوى الأرضي والأخرى في المستويات المثارية العليا لذلك من المتوقع أن تؤثر هذه العملية على كثافة هذه المستويات . وهذا ما سوف نوضحه فيما يلي :

### 5 - ب - 3 - 2 التغير الزمني لكثافة الالكترونات .

#### 5 - B - 3 - 2 Time variation of the electrons density .

شكل (5-32) وجدول (5-3) يوضح التغير الزمني لكثافة الالكترونات للحالات الأربع الممثلة بالمنحنيات (4), (2), (3), (1) على الترتيب ، نلاحظ تطابق قيمة كثافة الالكترونات للمنحنيتين (2) و (4) مما يدل على أن هذه الكثافة تتكون أساساً من عملية التأين الفوتوني . كما أن تطابق المنحنيتين (1) و (3) خلال الفترة الزمنية  $5 \text{ ns} \rightarrow 1 \text{ ns}$  يشير إلى عدم تأثير عملية هورنباك مولنار خلال هذه الفترة ، حيث أن تأثير هذه العملية يظهر بشكل تدريجي من  $200 \text{ ns} \rightarrow 10 \text{ ns}$  كما يوضح منحنى (3) . علمًا بأن هذه الزيادة لا تتحطى تأثير عملية التأين الفوتوني حيث يقع منحنى (3) أدنى بكثير عن المنحنيتين (2) و (4) وللذان يوضحان الزيادة الملحوظة في كثافة الالكترونات نتيجة لعملية التأين الفوتوني . أي أن تأثير عملية تأين هورنباك مولنار يمكن إهماله بجانب عملية التأين الفوتوني وهذا ما يوضحه التطابق بين المنحنيين (2) و (4) .



5 - ب - 3 - التغير الزمني لمتوسط طاقة الالكترون .

### **5 – B – 3 – 3 Time variation of the electron mean energy .**

يوضح شكل (5-33) دراسة التغير الزمني لمتوسط طاقة الالكترون للحالات الأربع الممثلة بالمنحنىات (1), (2), (3), (4). نلاحظ من هذا الشكل أن متوسط طاقة الالكترون الحالـة الثانية (المنحنى 2) تتوافق مع القيم المحسوبة للحالة الرابعة (المنحنى 4)، حيث يأخذ كلاهما قيمـاً شبـه مستقرـة عند متوسط طاقة حوالي  $1.25 \text{ eV}$  كما يوضح جدول (5-4) تـماـظـر قـمـة لـدـلـة التـوزـيع (شكل (5-31) منـحنـى (2) و (4)). أما المنـحنـين (1) و (3) يـمـثلـان إـهمـالـ وجود عـمـلـية تـأـيـنـ هـوـرـنـبـكـ مـوـلـنـارـ فـنـجـدـ أنـ مـتـوـسـطـ طـاقـةـ الـالـكـتـرونـ يـبـدـأـ بـقـيمـ منـخـفـضـةـ،ـ ثـمـ يـتـزـاـيدـ خـلـالـ فـتـرةـ التـشـعـيعـ تـخـطـىـ الـقـيمـ الـمـنـاظـرـةـ لـلـمـنـحنـينـ (2) و (4)ـ عـنـ أـزـمـنـةـ  $50$  و  $60 \text{ ns}$ ـ وـ يـتـزـاـيدـ خـلـالـ فـتـرةـ التـشـعـيعـ تـخـطـىـ الـقـيمـ الـمـنـاظـرـةـ لـلـمـنـحنـينـ (2) و (4)ـ عـنـ أـزـمـنـةـ  $50$  و  $60 \text{ ns}$ ـ،ـ حيثـ يـصـلـ مـتـوـسـطـ الطـاقـةـ إـلـىـ  $1.5 \text{ eV}$ ـ،ـ  $2.2 \text{ eV}$ ـ عـلـىـ التـرـتـيبــ.ـ وـتـوـافـقـ هـذـهـ الـقـيمـ الـمـرـفـعـةـ لـمـتـوـسـطـ طـاقـةـ الـالـكـتـرونـ مـعـ الـزـيـادـةـ فـيـ قـيمـ دـلـلـةـ تـوزـيعـ طـاقـةـ الـالـكـتـرونـاتـ عـلـىـ مـدـىـ الطـاقـةـ  $4.25 \text{ eV} \rightarrow 1$ ـ (ـالـمـنـحنـىـاتـ (1) و (3)ـ شـكـلـ (5-31))ـ.ـ أماـ الـانـخـفـاضـ فـيـ مـتـوـسـطـ طـاقـةـ الـالـكـتـرونـ لـلـمـنـحنـىـاتـ (2) و (4)ـ فـيـدـلـ عـلـىـ أـنـ مـعـظـمـ الـالـكـتـرونـاتـ تـتـواـجـدـ عـنـ  $0.75$ ـ،ـ  $1.25 \text{ eV}$ ـ.

5 - ب - 4 تأثير عملية تأين هورنباك مولنار على التيار الجزيئي .

### **5 – B – 4 Effect of Hornbeck Molnar ionization process on the molecular ionic current .**

نلاحظ في شكل(5-34) أنه بإهمال عملية تأين هورنباك مولنار فإن تيار الأيونات الجزيئية يتكون فقط خلال عملية التأين المشارك كما يوضح المنحنى (1)، والعكس صحيح عند إهمال عملية التأين المشارك حيث نجد أن التيار في هذه الحالة ينتج عن تأين هورنباك مولنار ، مع ملاحظة أن قيمة هذا التيار تكون أدنى من التيار الناتج عن عملية التأين المشارك وذلك في المراحل الأولى من زمن التشيع ، بينما تتخطى قيمته قيمة التيار الناشئ عن عملية التأين المشارك في مدى زمن ns  $200 \rightarrow 10$  كما يوضح منحنى (2). أما التأثير المشترك لهاتين العمليتين (منحنى 3) فأعطى تطابق بين المنحنى (1) و المنحنى (3) في المدى ns  $10 \rightarrow 1$ . وهذا يؤكد أن قيم التيار الناتج من عملية التأين المشارك تسود تلك الناتجة عن عملية تأين هورنباك مولنار . كما عند زمن التشيع يزيد عن ns 10 فنجد أن التيار الناتج عن عملية تأين هورنباك مولنار (منحنى 2) يزيد عن التيار الناتج عن التأين المشارك . ويؤكد ذلك سيادة عملية تأين هورنباك مولنار عن التأين المشارك . منحنى (4)



في هذا الشكل يمثل تيار الأيونات الجزيئية عند إهمال كلا العمليتين ، نلاحظ اختفاء التيار تماماً عند القيم المختلفة لقدرة الليزر ، وهذا يؤكد أن التيار ينتج أساساً خلال هاتين العمليتين .

نظرًا لاعتماد عملية تأين هورنباك مولنار على كثافة المستوى الأرضي لذلك شكل(5-35) يمثل التغير الزمني لكتافة المستوى عند قيم مختلفة لقدرة الليزر . يتضح من هذا الشكل أنه بزيادة قدرة الليزر تتحفظ كثافة المستوى الأرضي ، مما يدل على زيادة معدل عملية تأين هورنباك مولنار مع زيادة قدرة الليزر .  
165

**5 – ب – 5 عملية تكون الزوج الأيوني .**

من مستويات الطاقة لذرة الروبيديوم شكل (4-1) نجد أن مجموع الطاقة لذرات المستوى الأرضي و إحدى الذرات في أي من المستويات المثارية لا يتخطى بأي حال من الأحوال طاقة تأين الذرة ، لذلك فعند تصادم ذرة في المستوى الأرضي وأخرى في مستوى مثار ينتج عن ذلك تكون جزيء الروبيديوم والذي يتبعه مباشرة تفكك أيوني للجزيء إلى أيون موجب وأخر سالب . وتقل الطاقة اللازمة لهذه العملية عن طاقة تأين الذرة . حيث أن هذه العملية لا تؤدي إلى تكون الكترونات لذلك فهي لا تؤثر في تغير كثافتها ، وبالتالي في متوسط طاقتها ولكن تؤثر بشكل غير مباشر على دالة توزيعها . ويظهر تأثير هذه العملية بشكل واضح في مقدار تيار الأيونات السالبة كما يوضح شكل (5-36) والذي أخذ كدليل لحدوث هذه العملية في القياسات المعملية التي أجريت بواسطة باربير وشيري (Barbier and Che'ret,1987) .

### 5 – ب – 5 – 1 دالة توزيع طاقة الالكترون .

#### 5 – B – 5 – 1 Electron energy distribution function .

بدأت الحسابات أولاً بأخذ في الاعتبار التأثير المفرد لعملية تكون الزوج الأيوني . أشارت الحسابات بأن هذه العملية لا تؤثر على الإطلاق في أي من المعاملات (دالة توزيع طاقة الالكترون ، متوسط طاقة الالكترون ، التكوين الزمني لكتافة الالكترونات ، غيرها ) . بينما يظهر تأثير هذه العملية بشكل طفيف عند أخذ في الاعتبار عملية التأين الفوتوني كما يوضح شكل (5-37) .



نلاحظ في هذا الشكل وجود عملية تكون زوج من الأيونات يؤدي إلى زيادة قيم دالة التوزيع على المدى المرتفع من طاقة الالكترون ( $eV \geq 1$ ) ، ويزداد معدل هذه الزيادة مع زيادة قدرة الليزر . وربما يرجع ذلك إلى زيادة معدل تسخين الالكترونات وانخفاض معدل تأين بنج الذي يشارك هذه العملية في مستويات الطاقة العليا . بالإضافة إلى انخفاض معدل التأين بالتصادم الالكتروني والتأين الفوتوني ، حيث أن هذه العمليات تعتمد على كثافة مستويات الطاقة العليا في الذرة .

بالإضافة إلى ذلك فإن هذه العملية تؤدي إلى زيادة التيار الأيوني الموجب كما يوضح شكل (5-38) والذي يعطي مقارنة بين التكوين الزمني للتيار الأيوني تحت التأثير المفرد لكل من عملية التأين الفوتوني ( منحنى1) وتأين بنج ( منحنى2) والتأين بالتصادم الالكتروني ( منحنى4) بجانب عملية تكون زوج من الأيونات ( منحنى3) ، مع التأثير المشترك لهذه العمليات الممثل بالربعات المظللة لقيم المختلفة لقدرة الليزر . يتضح من هذا الشكل أنه بشكل عام تزداد كثافة الأيونات الذرية بزيادة قدرة الليزر كما توضح الأشكال (i),(ii),(iii) ، وأن عملية التأين الفوتوني لا تؤثر بشكل ملحوظ على تكون التيار الأيوني الموجب ( منحنى1) . وربما يرجع ذلك إلى زيادة معدل عملية إعادة الاتصال نتيجة لزيادة كثافة الالكترونات التي تعمل على اختفاء الأيونات الموجبة وتكون كثافة من الذرات المتعادلة . من جهة أخرى نجد أن تأين بنج ( منحنى2) يساهم بشكل فعال في تكون تيار الأيونات الموجبة ، ويزداد معدل هذا التيار مع زيادة قدرة الليزر كما نلاحظ في شكل (iii) . حيث تتحطى قيمة التيار المناظر لتأين بنج بقيم التيار المحسوبة عند التأثير المفرد لكل عملية من التأين بالتصادم الالكتروني ( منحنى 4) وكذلك عملية تكون زوج من الأيونات ( منحنى3) . أما عملية تكون زوج أيوني فنجد أن التيار الأيوني يبدأ بقيم منخفضة نسبياً تتزايد مع زمن التشيع ، ولكن بنسبة أقل مقارنة بالتيار الناتج عن كل من تأين بنج والتأين بالتصادم الالكتروني . وربما يرجع ذلك إلى مشاركة هذه العملية وعملية هورنبك مولنار في ذرات المستوى الأرضي والذرات في مستويات الطاقة العليا .

وبشكل عام نجد أن التيار الأيوني الموجب ينتج أساساً من عملية تأين بنج ويوضح ذلك تطابق قيم التيار للمنحنى (2) و الربعات المظللة الذي يمثل التأثير المشترك لجميع العمليات على كثافة تيار الأيونات الموجبة .

5 - ب - 5 - 2 دراسة التغير في كثافة المستويات المثارة الناتج عن عمليات التأين .



### 5 – B – 5 – 2 Study of excited states density variation due to ionization processes .

تؤدي عمليات التأين إلى تغير في كثافة المستويات المثارة وفقاً لما يلي :

في عملية تأين بنج يؤدي تصادم ذرة في المستوى المشبع وأخرى في أحد المستويات المثارة العليا إلى تكون الكترون حر وأيون ذري موجب ، وهذا وبالتالي يعمل على خفض كثافة مستويات الإثارة العليا .

كما أنه في عملية التأين الفوتوني فإن أحد الذرات في مستويات الطاقة العليا يمكنها أن تمتض فوتوناً مفرداً يؤدي إلى تأين الذرة تاركاً خلفه أيوناً ذرياً موجباً والكتروناً حرّاً ، وبناءً  
171 على ذلك تفقد ذرة مثاره .

و كذلك الحال في عملية التأين بالتصادم الإلكتروني فنجد أنه عندما يكتسب الالكترون مقداراً كافياً من الطاقة فإنه يصطدم بذرة مثاره تصادماً غير مرئياً مؤدياً إلى تأينها ، وينتج عن ذلك الكتروناً حرّاً وأيوناً ذرياً موجباً . وبناءً عليها تفقد ذرة مثاره .

نتيجة لهذه العمليات كان من الضروري دراسة تأثير عمليات التأين على تغير كثافة كل مستوى طاقة مفرد .

شكل (5-39) يمثل نسبة الانخفاض في كثافة المستوى كدالة في زمن التشيع .

ويوضح هذا الشكل التغير في كثافة كل من المستوى (3.19 eV) 5d و المستوى 7s (3.25 eV) ، وتم اختيار هذه المستويات بناءً على القياسات المعملية التي أجريت لدراسة عملية تكون زوج أيوني (Barbier et. al. 1986) . يتضح من هذا الشكل أن الانخفاض في كثافة كل من المستوى 7s ، 5d يتزايد مع زيادة الزمن . ويكون أكثر وضوحاً للمستوى 5d ، حيث نجد أن نسبة الانخفاض في كثافة المستوى 5d عند نهاية زمن التشيع (0.13) تزيد كثيراً عن نسبة الانخفاض في المستوى 7s (0.03) ، وذلك عند قدرة أشعة الليزر 500 mW (منحنى 2) ، بينما عند القدرة المنخفضة فإن كثافة هذه المستويات تظل ثابتة كما يوضح المنحنى (1) .

ومن جهة أخرى تشارك مستويات الطاقة العليا ( $>$  طاقة التأين الجزيئي ) في عمليات التأين مما يؤدي إلى تغير كثافتها . وتزداد كثافة هذه المستويات أساساً خلال عمليات مشاركة الطاقة وإعادة الاتحاد . يمثل شكل (5-40-A) التغير في كثافة المستويات 8s ، 6d عند قيمتي قدرة الليزر 50 mW و 500 mW (منحنى 1) و منحنى (2) . نلاحظ في هذا الشكل أن كثافة المستويات تبدأ بقيمة مرتفعة عند بداية زمن



التشعيع وتتحفظ إلى قيمة صغرى يختلف موقعها وفقاً لقدرة الليزر لكل من المستويين . فنجد أنه عند القدرة المنخفضة تكون أدنى قيمة لكثافة المستوى عند زمن تشعيع 50 ns ، بينما عند القدرة المرتفعة فتتحفظ كثافة المستوى خلال المراحل الأولى لزمن التشعيع (10 ns) . بعدها تبدأ الكثافة بالزيادة مرة أخرى حتى نهاية زمن التشعيع للمنحين (1) و (2) لكل مستوى . ويدل الانخفاض في كثافة المستوى من بداية زمن التشعيع على زيادة معدل عمليات التأين . ويصل أعلى معدل للتأين عند فترة زمنية تتوقف على قدرة الليزر (أدنى قيمة لكثافة المستوى ) . أما زيادة الكثافة في المراحل الأخيرة لزمن التشعيع فتؤكد زيادة معدل عملية إعادة الاتحاد وهي العملية المنافسة لعملية التأين . وقد لوحظ تكرار هذا السلوك عند مستويات الطاقة العليا 9s , 7d شكل (5-40-B) ، وكذلك 10s , 8d شكل (5-40-C) ، مع اختلاف قيم كثافة هذه المستويات .